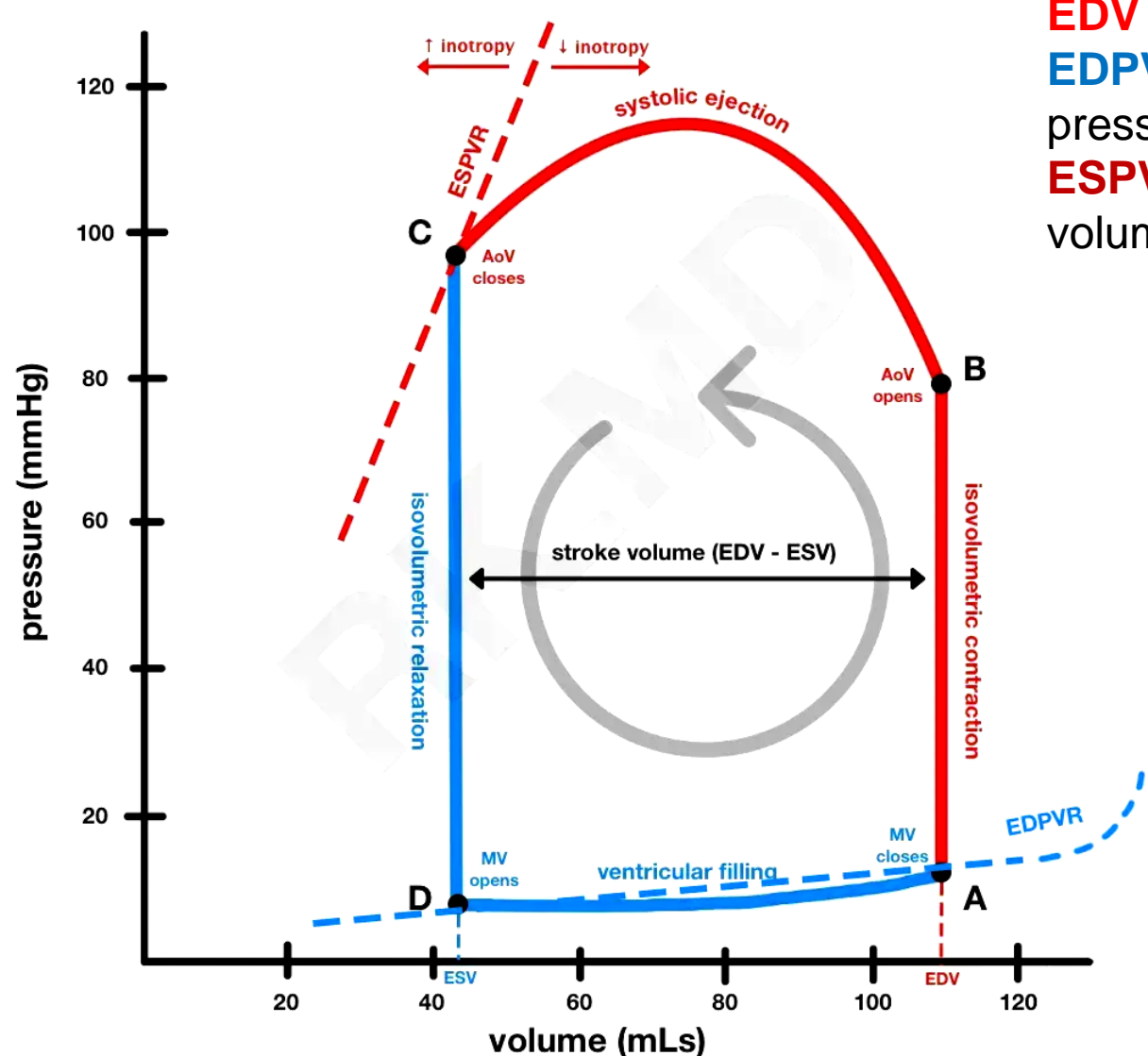
Лекция 8

Механизмы регуляции деятельности сердца.

Механизмы регуляции сердечной деятельности

- Внутрисердечные
- Внесердечные
 - Нервные с участием автономной нервной системы (рефлекторно).
 - Гуморальные

P-V LOOP



ESV - end-systolic volume
EDV - end-diastolic volume
EDPVR - end-diastolic
pressure-volume relationship
ESPVR - end-systolic pressurevolume relationship

Местные – внутрисердечные

1. Внутриклеточная регуляция

- Гетерометрический тип -

закон Франка-Старлинга (сердца) - сила сокращения в систолу зависит от степени растяжения миокарда в диастолу.

2.0 -2.4 µм - длина саркомера мышечного волокна обеспечивающая максимальную силу сокращения — максимальное количество образующихся комплексов "актин — миозин".

Диастолическое давление наполнения в норме 0-7мм рт.ст., а средняя длина саркомера равна 2.2 µм. Максимальная возможная длина 2.6 µм.

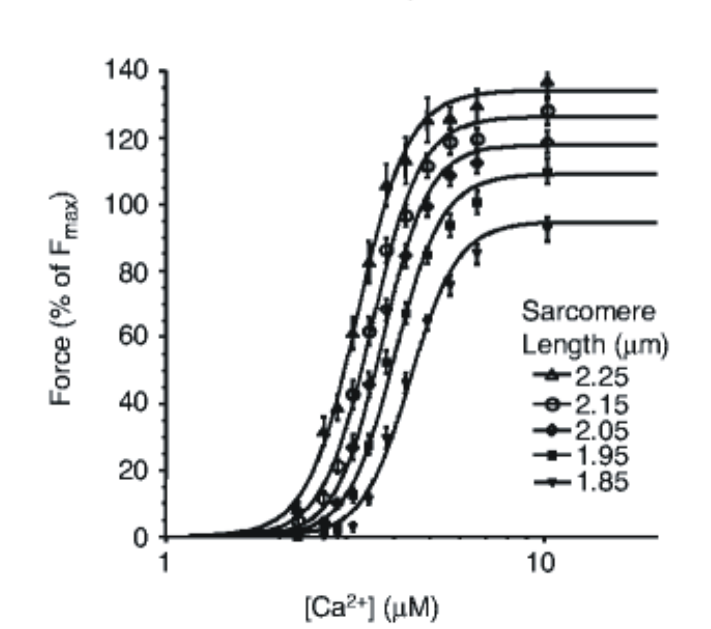
<u>Первый предложенный механизм</u> – когда кардиомиоцит растягивается, должно происходить уменьшение площади поперечного сечения волокна. Поскольку количество миофиламентов постоянно, расстояние между ними должно уменьшаться.

Такая близость приводит к *увеличению вероятности образования поперечных мостиков*.

Следовательно, увеличение силы сокращения может происходить без повышения уровня ионов Ca²⁺.



Исходная длина ткани миокарда или конечный диастолический желудочковый объем



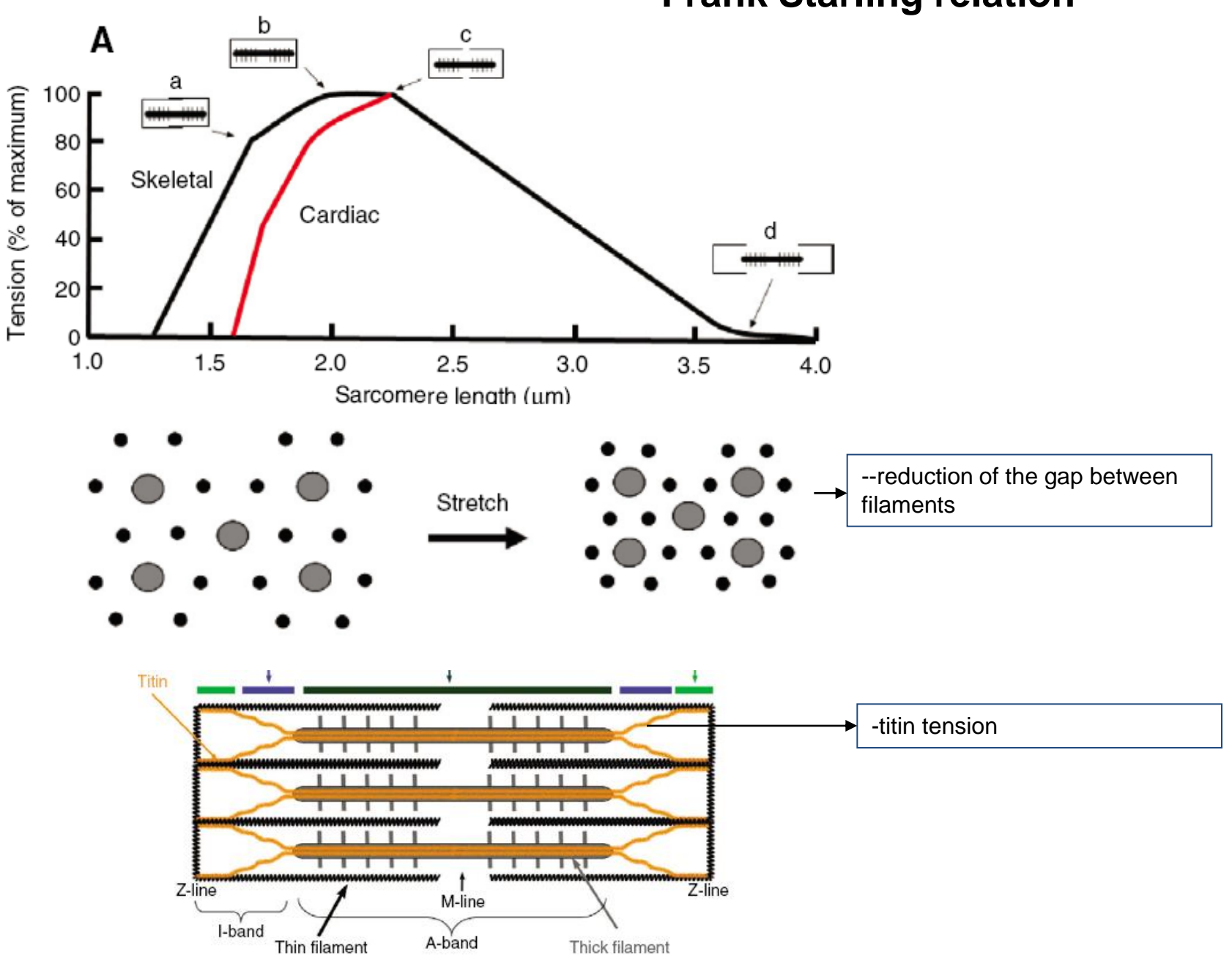
Второй предложенный механизм заключается в изменении степени перекрытия толстых и тонких нитей при растяжении саркомера. Этот механизм может быть актуален для малой длины саркомера, но дальнейшее его удлинение за пределы оптимальной зоны перекрытия, должно уменьшать количество поперечных мостиков. Следовательно, этот механизм не может объяснить феномен F-S при больших значениях длинны саркомера.

Третий предложенный механизм заключается в том, что при удлинении саркомеров изменяется чувствительность сократительного аппарата к Ca²⁺.

Эксперимнтальные данные свидетельствуют о том, что образование поперечных мостиков способствует активации соседних миозиновых головок и взаимодействию актиновых и миозиновых филаментов. Повышенная чувствительность к ионам Ca²⁺ способствует образованию поперечных мостиков и увеличению силы сокращения. Кроме того, предполагается, что *титин* может модулировать – изменять либо чувствительность к ионам Ca²⁺, либо межфиламентное расстояние, способствуя F-S механизму.

Введение в магистральные вены всего 1-2% от общей массы циркулирующей крови уже достаточно для проявления феномена F-S. Тогда как рефлекторные механизмы, срабатывают при увеличении объема циркулирующей крови на 5-10%.

Frank Starling relation

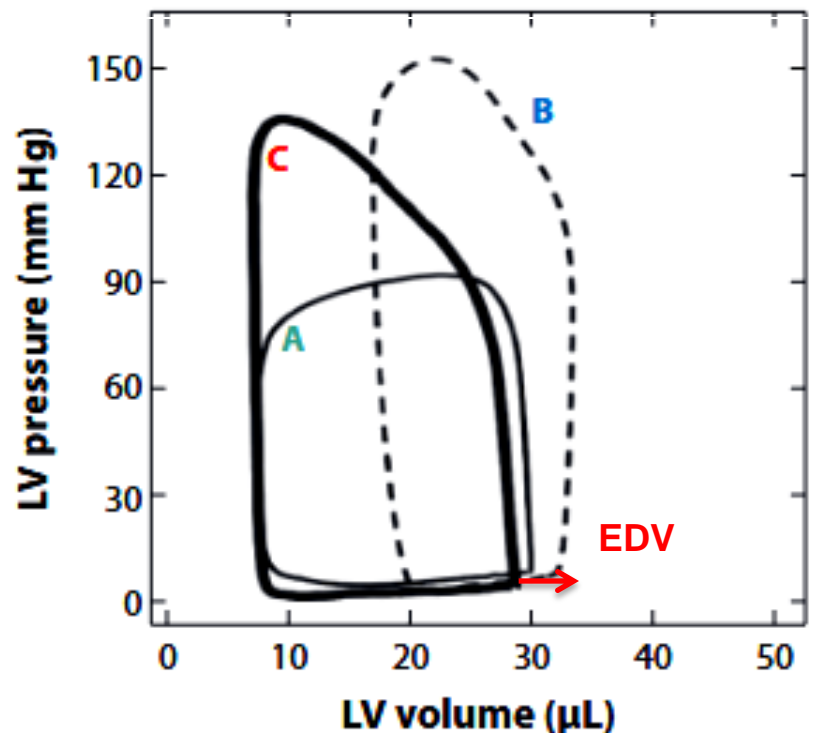


- Гомеометрический тип

Эффект Анрепа - зависимость силы сокращения от давления в аорте без изменения величины притока крови к сердцу и степени растяжения миокарда в диастолу.

Это адаптивная реакция увеличения сократимости левого желудочка после острого повышения постнагрузки.

Left ventricle



TAC - transverse aortic constriction

— A Control

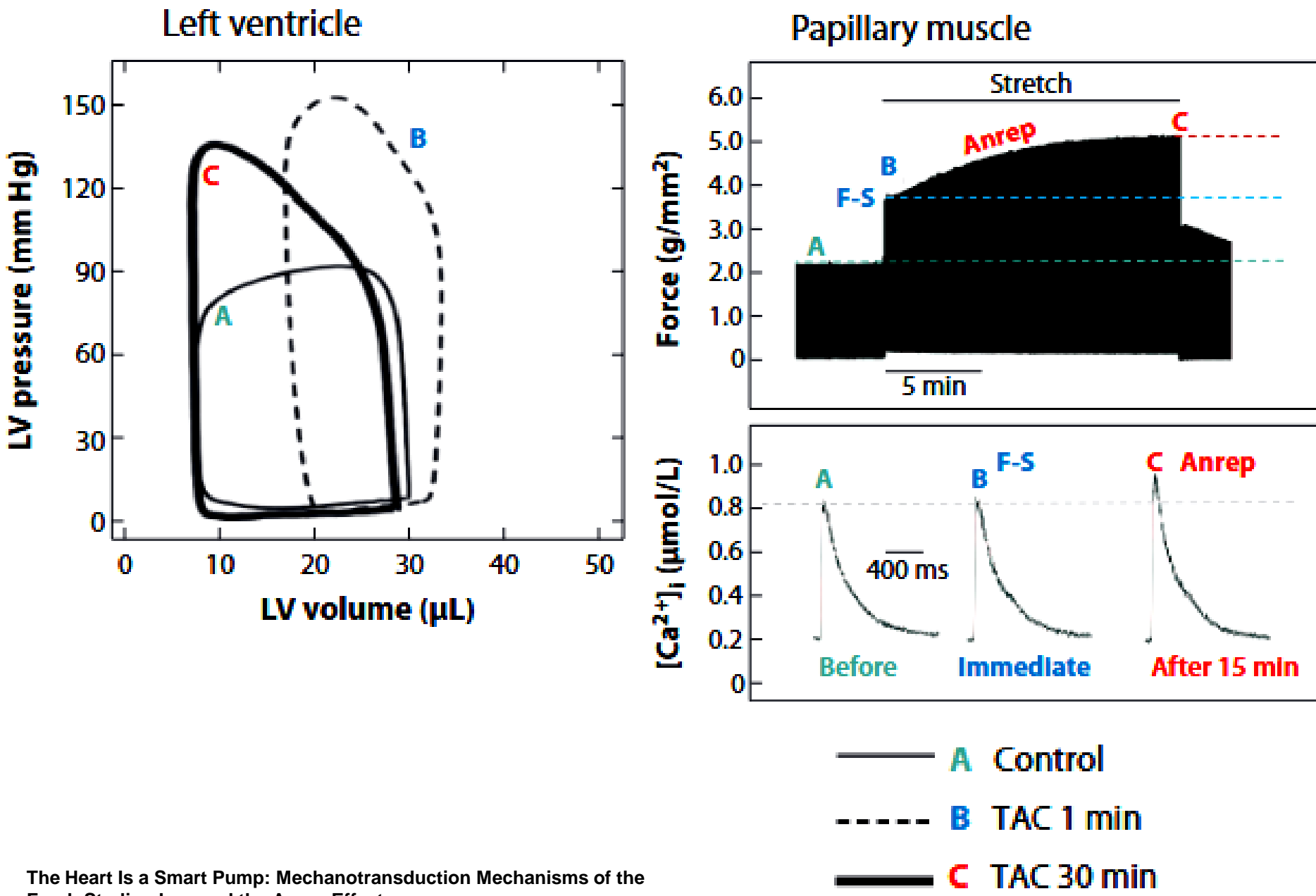
---- B TAC 1 min

Увеличивается конечный диастолический объем (EDV), который задействует механизм F-S увеличивающий силу сокращения.

TAC 30 min

EDV возвращается к норме и высокая сократимость определяется эффектом Анрепа

The Heart Is a Smart Pump: Mechanotransduction Mechanisms of the Frank-Starling Law and the Anrep Effect Ye Chen-Izu et al., Annu. Rev. Physiol. 2025. 87:53–77 https://doi.org/10.1146/annurev-physiol-022724-104846

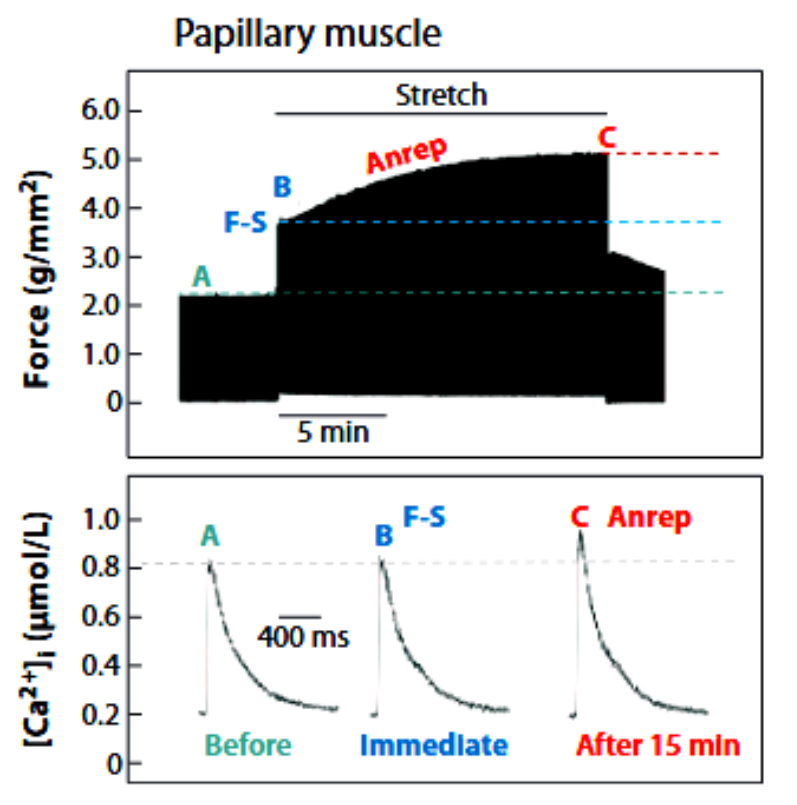


The Heart Is a Smart Pump: Mechanotransduction Mechanisms of the Frank-Starling Law and the Anrep Effect
Ye Chen-Izu et al., Annu. Rev. Physiol. 2025. 87:53–77
https://doi.org/10.1146/annurev-physiol-022724-104846

- связан с улучшением кровотока и его перераспределением из эпикарда в эндокард.

Увеличение силы сокращений обусловлено повышением чувствительности TnC к ионам Ca²⁺. При растяжении сердечной мышцы происходит быстрое увеличение развиваемой силы, известное как механизм Франка-Старлинга.

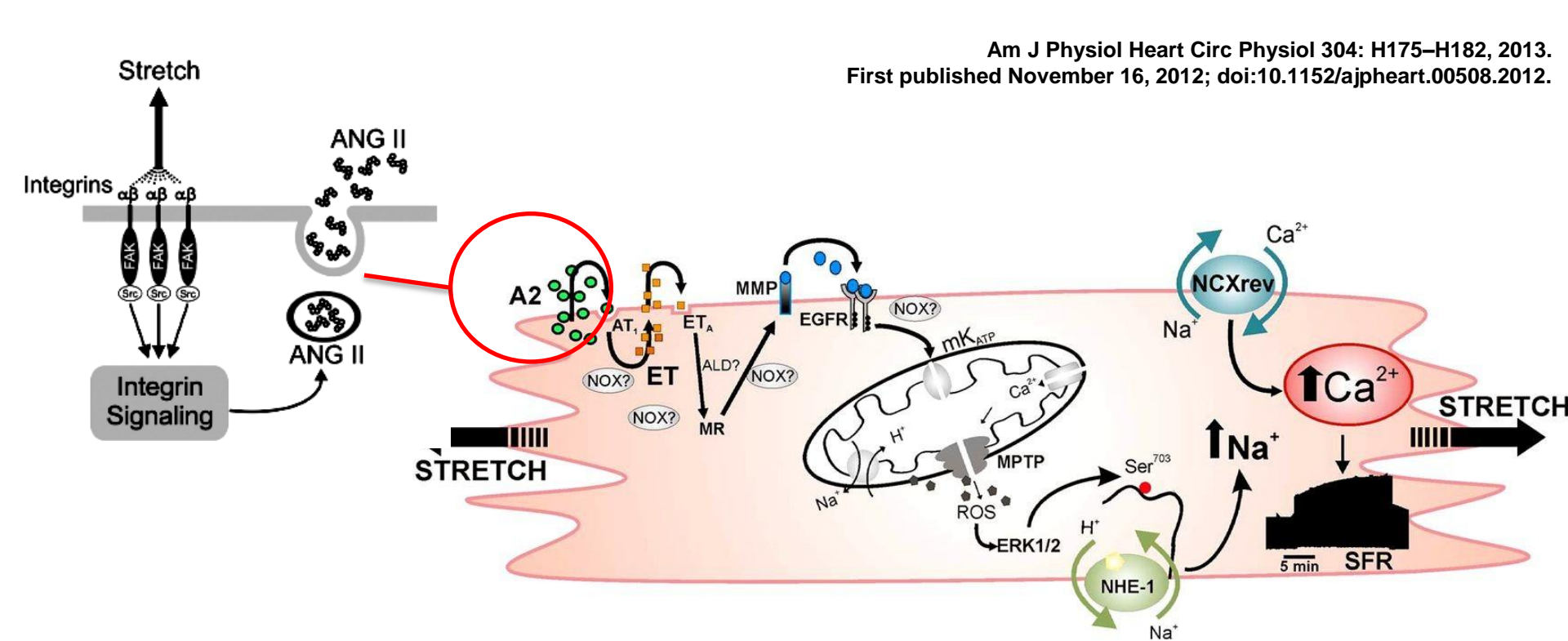
После первоначальной быстрой реакции на растяжение происходит медленное (постепенное) увеличение развиваемой силы, называемое реакцией медленного кровотока, в течение 10-15 мин. из-за увеличения амплитуды транзиента ионов Ca²⁺ (усиление притока Ca²⁺ через сарколемму через NCX работающий в обратном направлении).

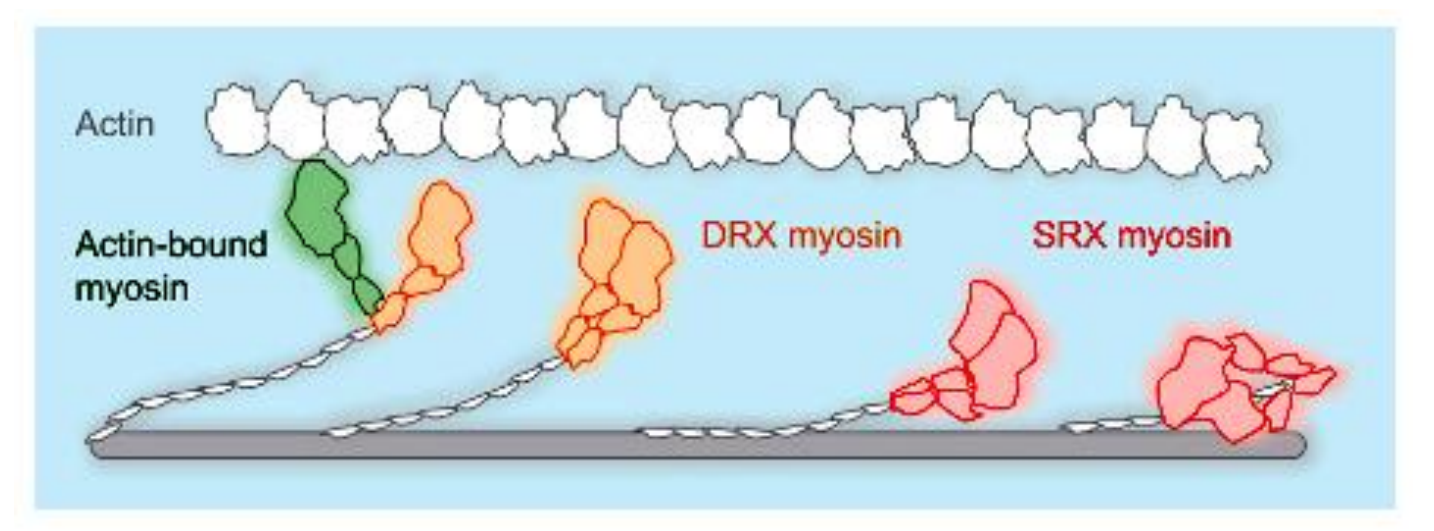


Аутокринные/паракринные механизмы эффекта Анрепа.

Цепочка событий, вызванных растяжением миокарда, включает:

- 1) выброс ангиотензина II (A2),
- 2) выброс эндотелина (ЕТ),
- 3) активацию минералкортикоидного рецептора (MR),
- 4) трансактивацию рецептора эпидермального фактора роста (EGFR),
- 5) повышенное образование митохондриальных АФК (ROS),
- 6) активация редокс-чувствительных киназ, изменяющих работу Na+/H+- обменника миокарда (NHE1),
- 7) увеличение внутриклеточной концентрации ионов Na+ и
- 8) ўвеличение амплитуды Са²⁺ транзиента посредством работы Na+/Ca²⁺- обменника.





Концепция трех функциональных состояний миозина. (i) связанное состояние - миозинактин и два состояния (ii, iii) без взаимодействия сократительных белков и разной вероятностью образования поперечных мостиков.

- (i) сверх расслабленное состояние super-relaxed (SRX) state. В этом энергосберегающем состоянии, миозин не участвует в цикле образования поперечных мостиков не взаимодействуя с актином. Считается, что примерно 55% головок миозина остаются в SRX состоянии, фактически удерживаемые в резерве.
- (ii) состояние неупорядочного расслабления disordered-relaxed (DRX) state. Каждое из этих состояний характеризуется своей скоростью гидролиза АТФ.

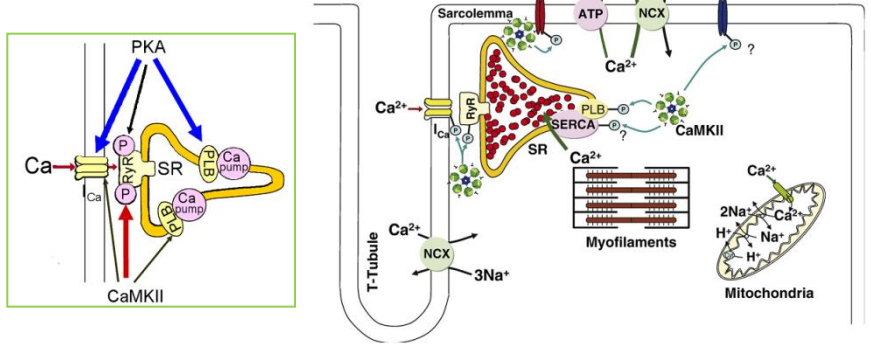
В первом состоянии, когда миозин связан с актином, происходит быстрый гидролиз АТФ (<1c). Второе и третье состояние с низкой скоростью гидролиза АТФ:

- (ii) DRX состояние (с примерно в 100 раз меньшей активность АТФ-азы (<30 с), и
- (iii) SRX состояние с еще большим, более чем 5-кратным снижением АТФ-азной активности по сравнению с состоянием DRX (>100 c).

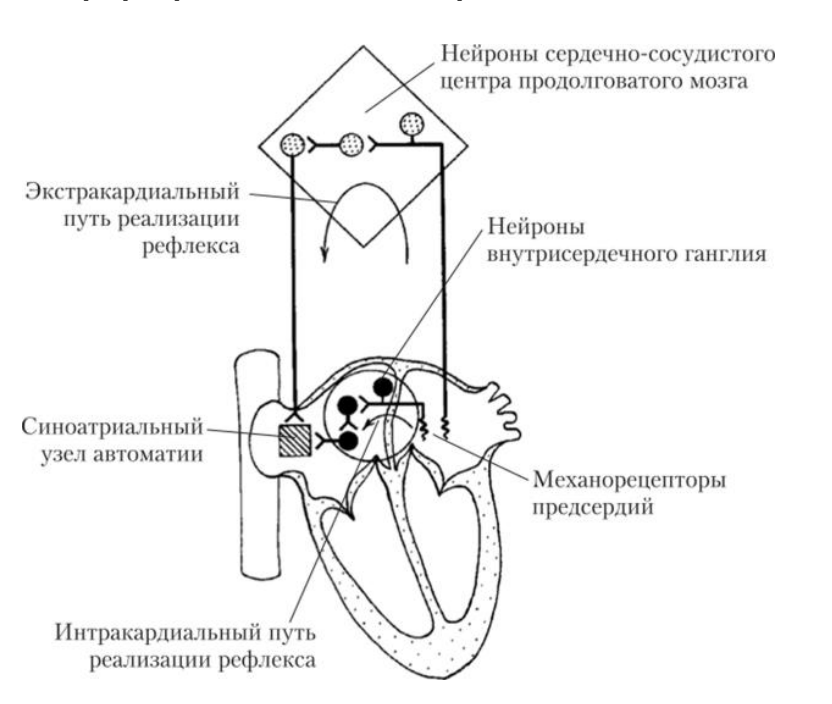
- Гомеометрический тип

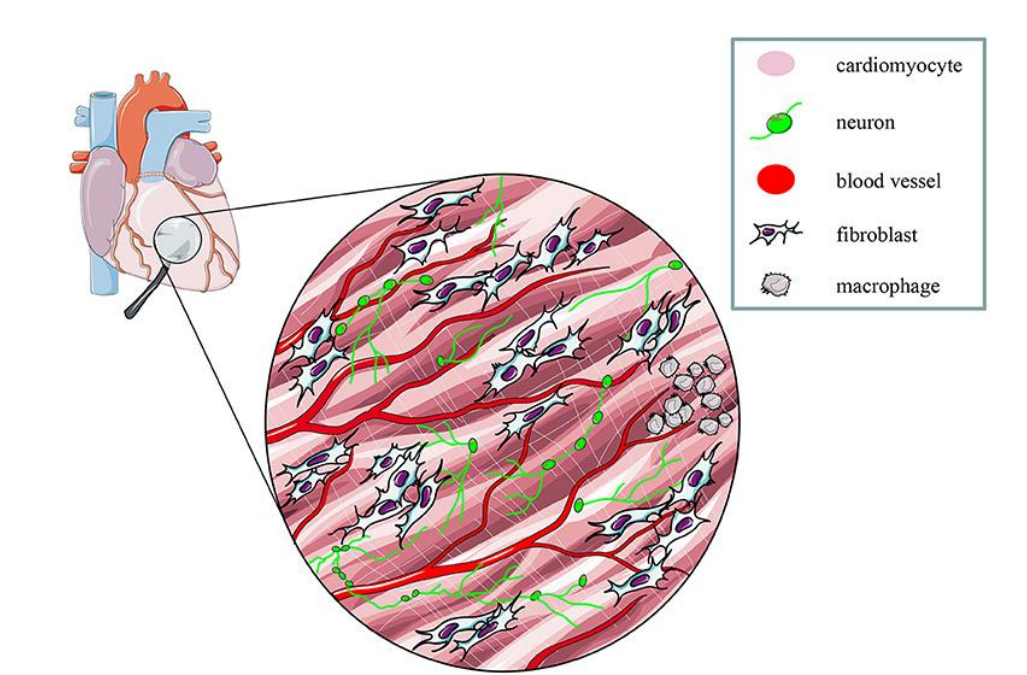
эффект Боудича – (ритмоинотропный эффект). Увеличение силы сокращений миокарда при увеличении ЧСС. Увеличение остаточного кальция и

актвиация Са-кальмодулин зависимых протеин киназ.



- 2. Межклеточные взаимодействия.
- 3. Внутрисердечные рефлекторные дуги. Афферентные, вставочные и эфферентные нейроны.



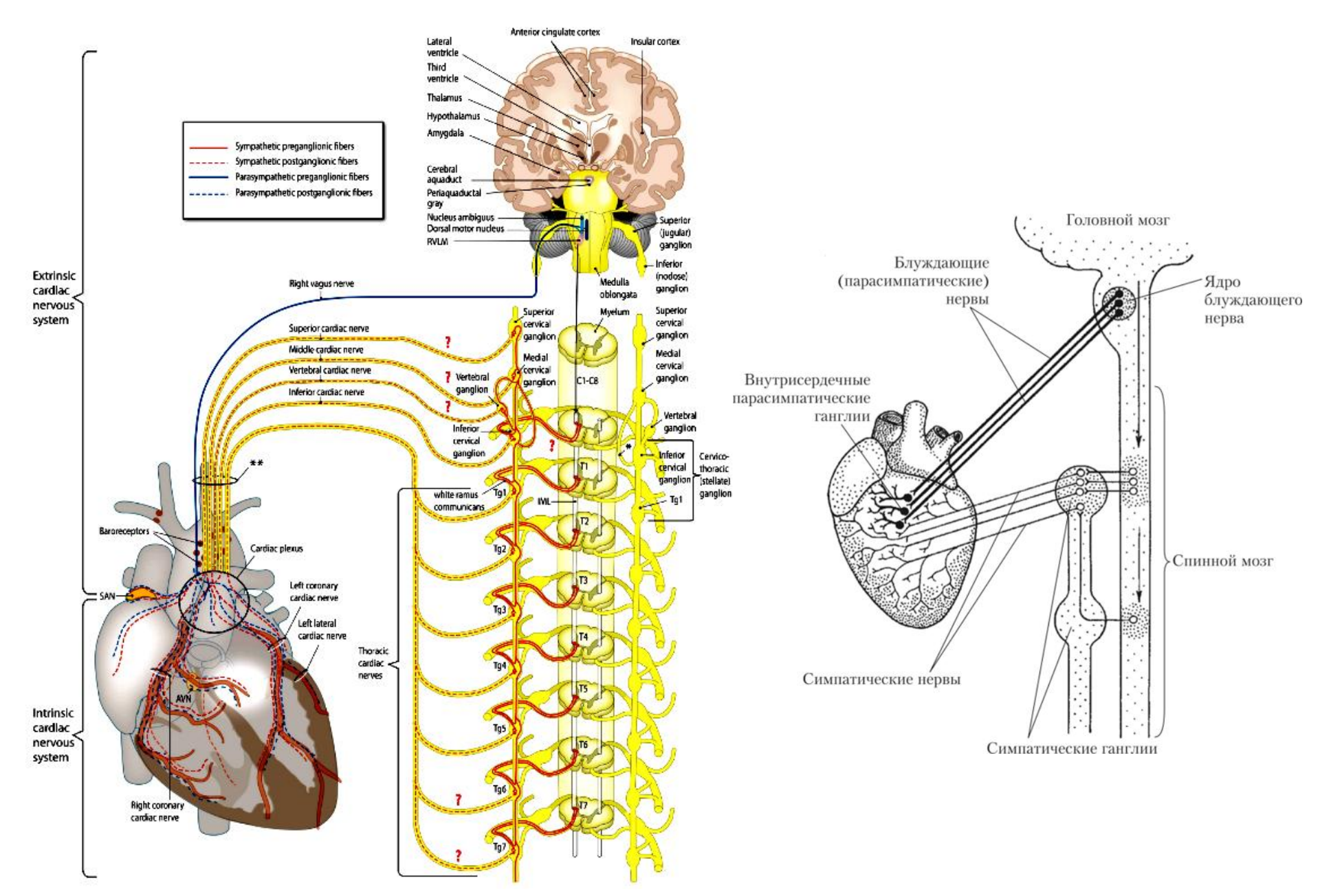


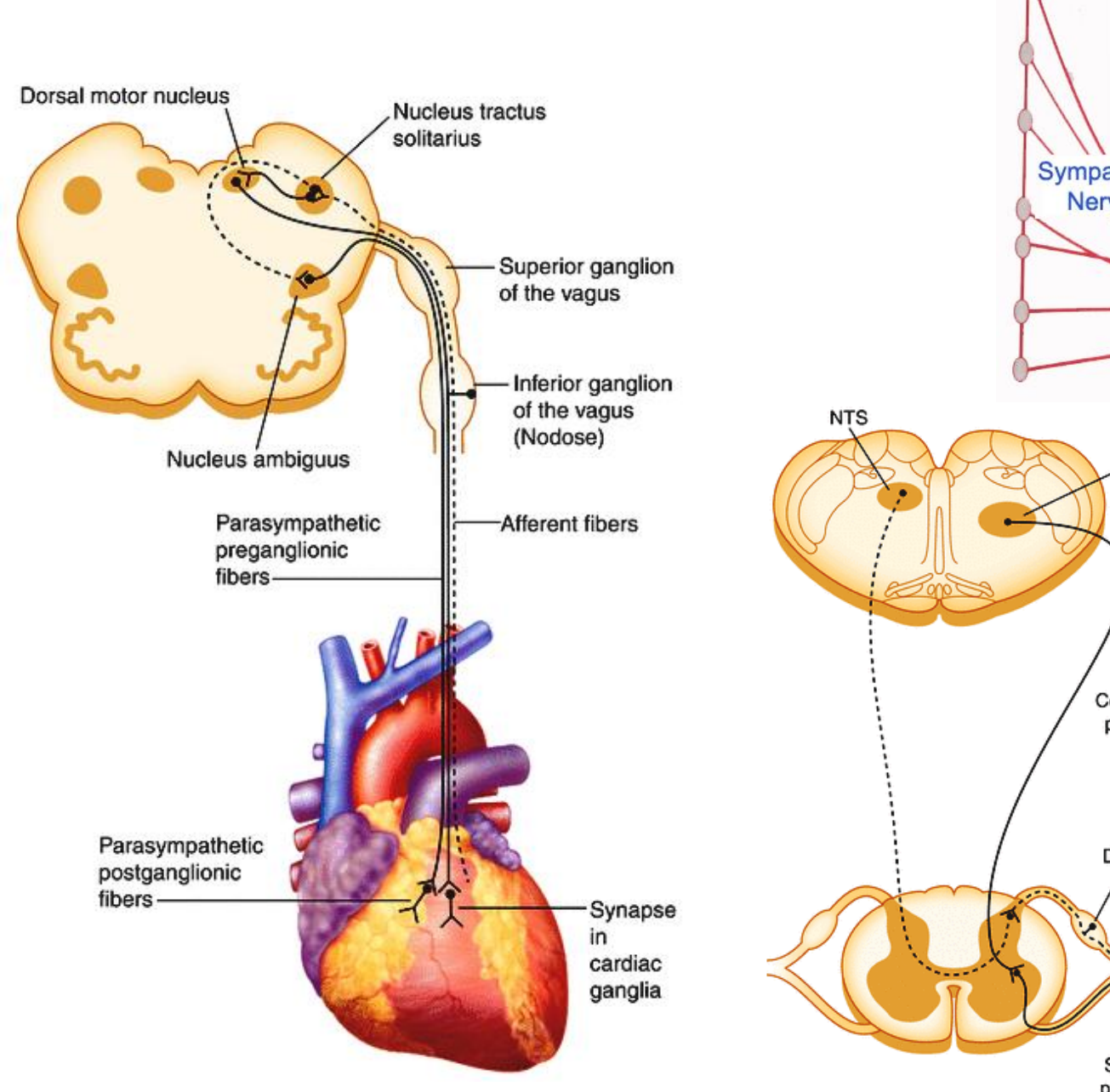
Внесердечные механизмы регуляции

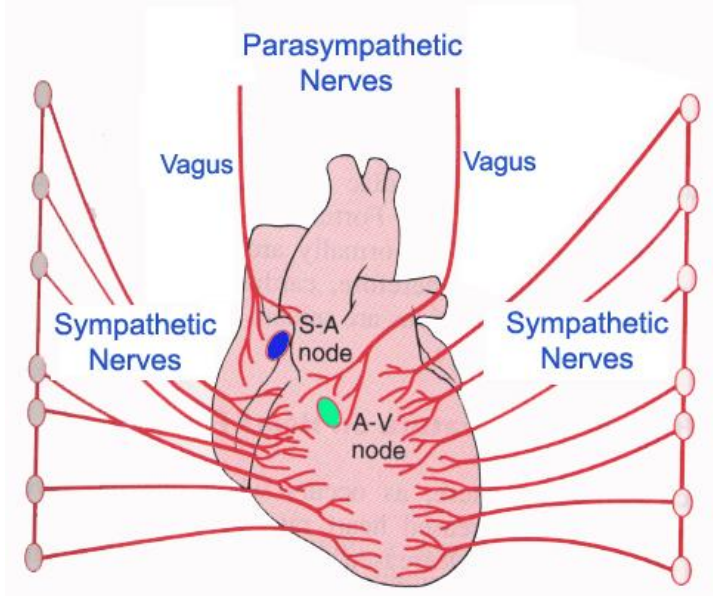
Нервная - 3 типа регуляторных эффектов на сердце

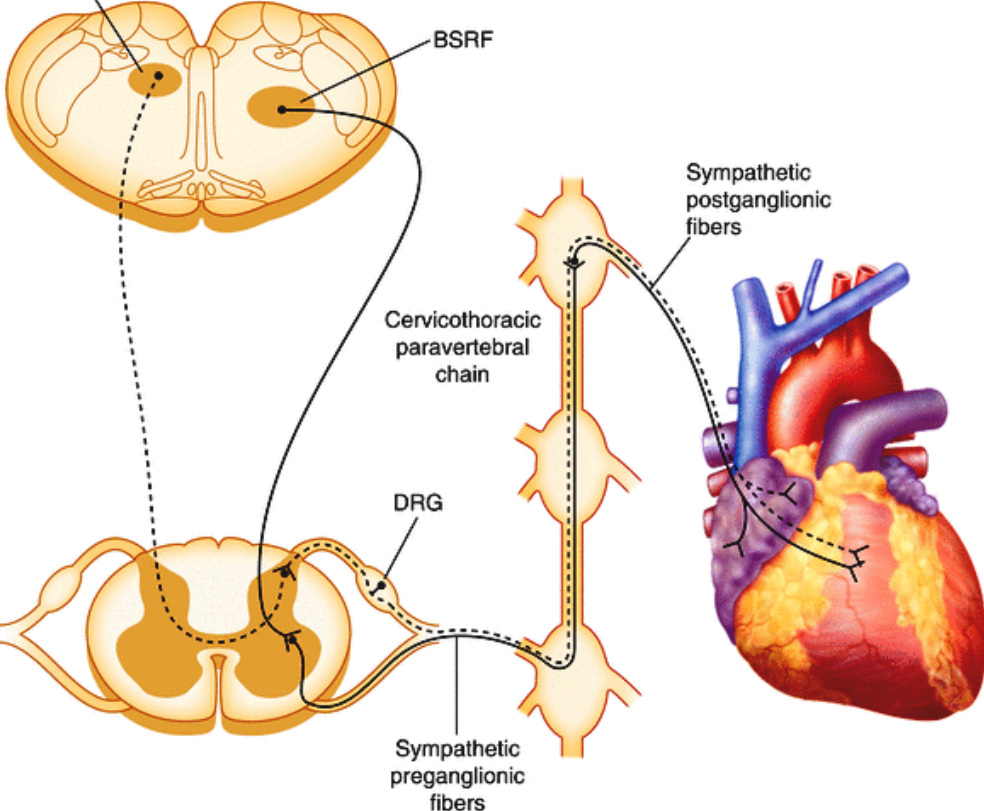
- 1. ХРОНОТРОПНЫЙ ЭФФЕКТ влияние на частоту сокращений.
- 2. ИНОТРОПНЫЙ ЭФФЕКТ влияние на силу и скорость сокращений (изменение сократимости).
- 3. ДРОМОТРОПНЫЙ ЭФФЕКТ влияние на скорость проведения возбуждения в сердце (изменение АВ-задержки).
- СИМПАТИКА сердечные нервы:
- положительные, особенно 1,2,3
- ПАРАСИМПАТИКА блуждающий нерв: отрицательные,

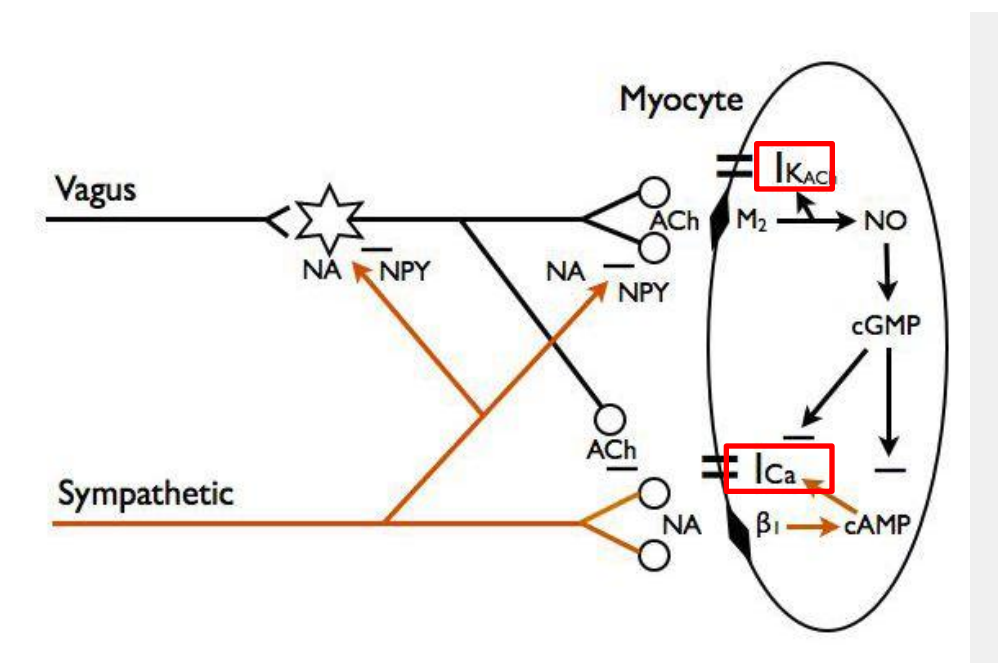
особенно 1

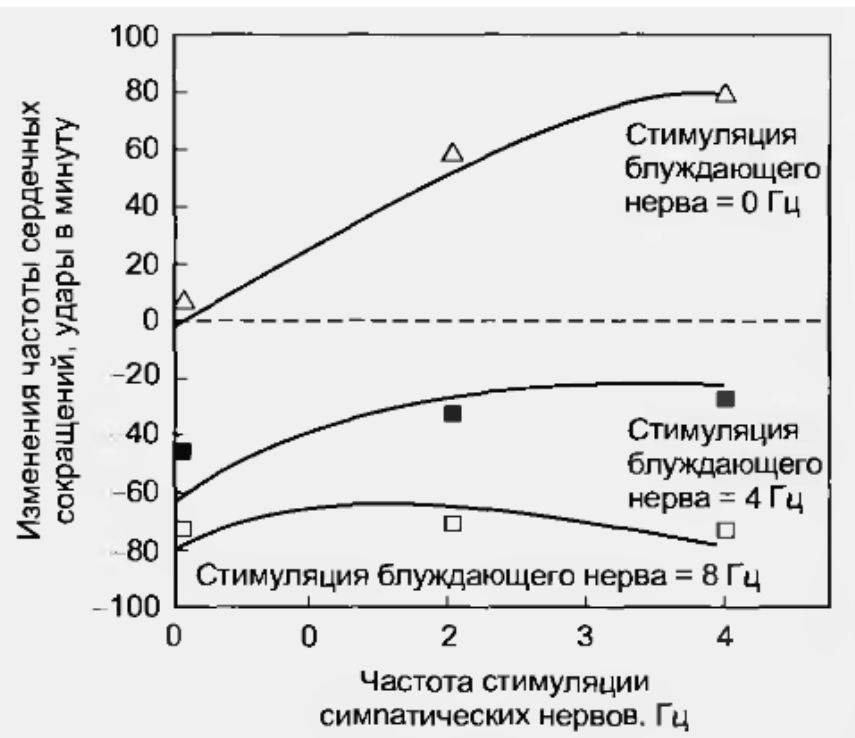


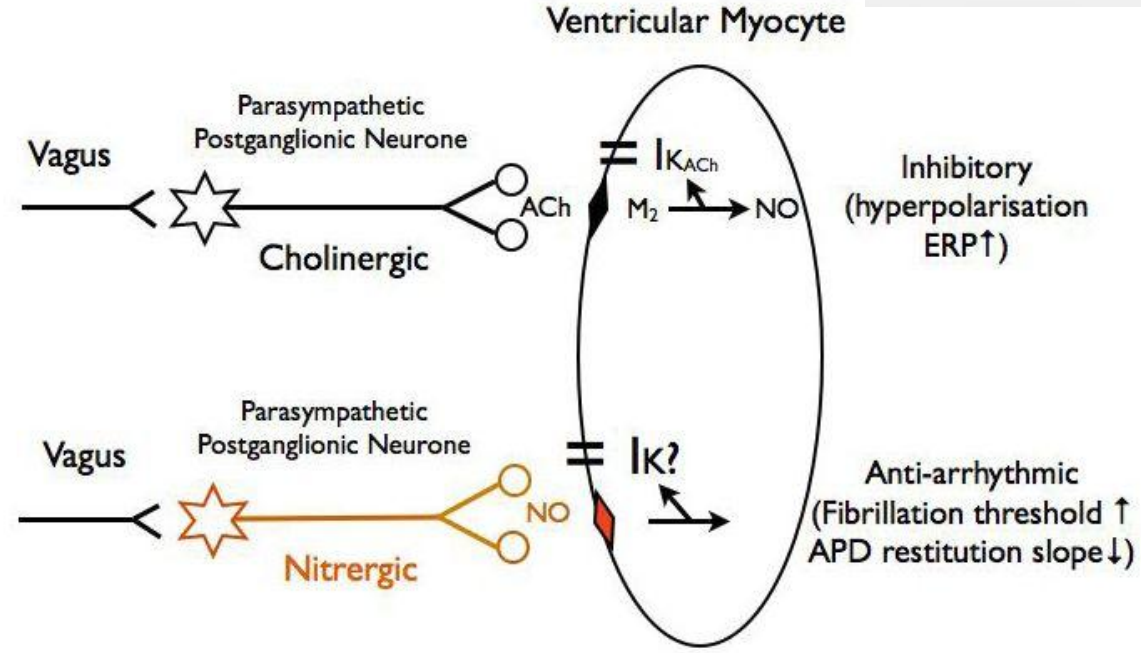




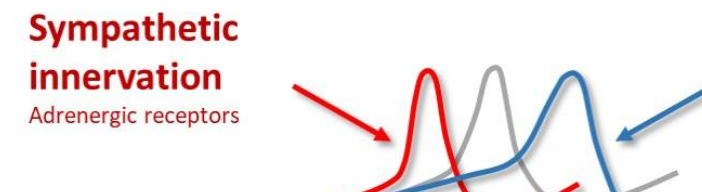








Effects of sympathetic and parasympathetic innervation and selected drugs on the SA and AV nodes



Vagal (parasympathetic) innervation Muscarinic receptors



Lower frequency

Baseline/intrinsic heart rate

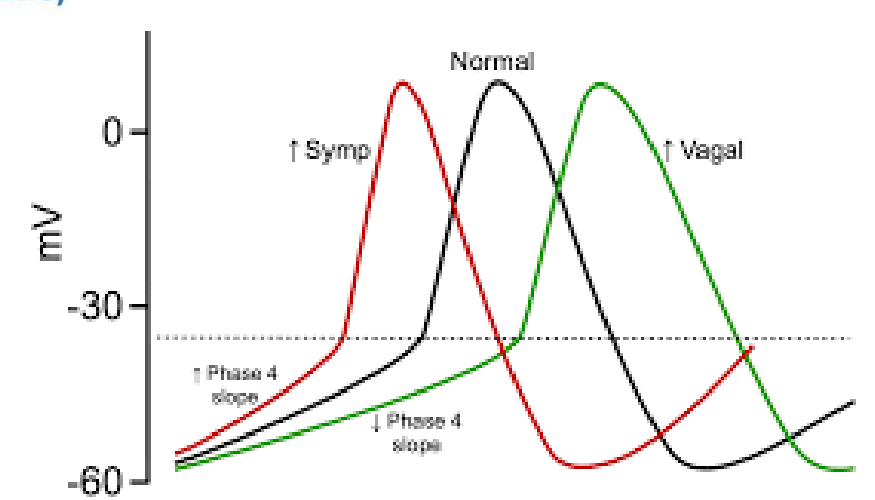
Faster depolarization in phase 4

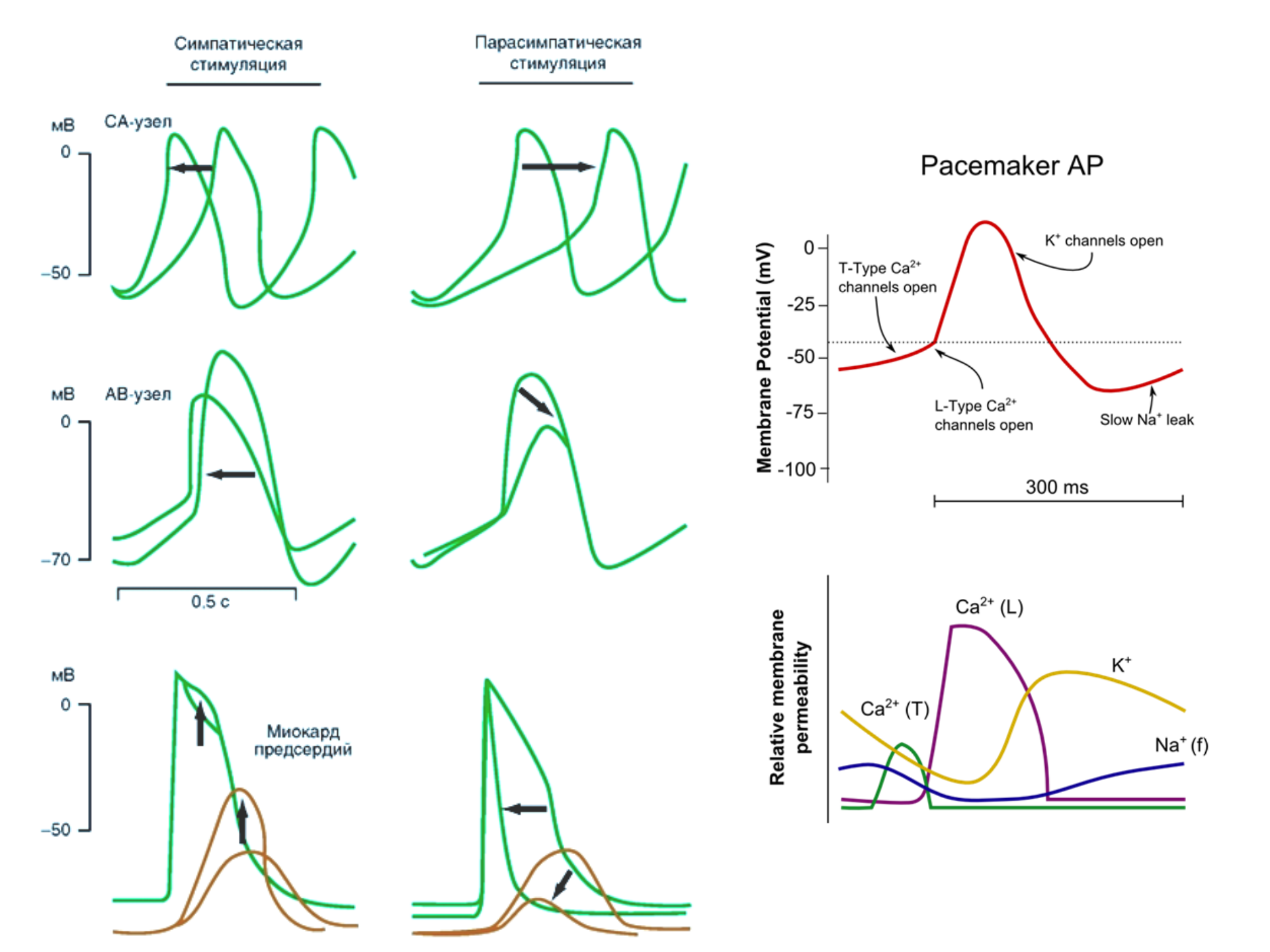
Higher frequency

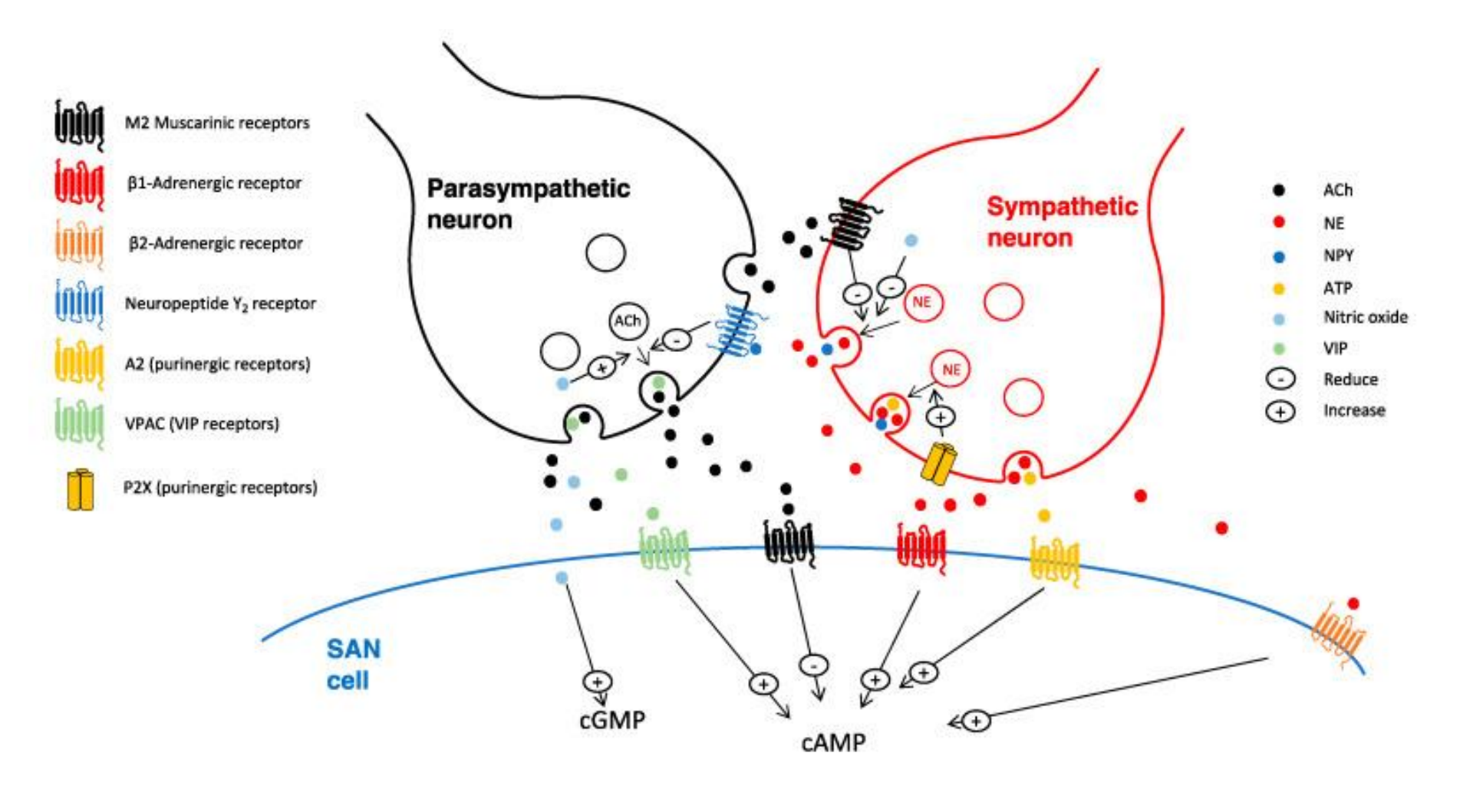
Vagal nerve
Beta blockers
Calcium channel antagonists
Adenosine
Ito antagonists (ivabradine)

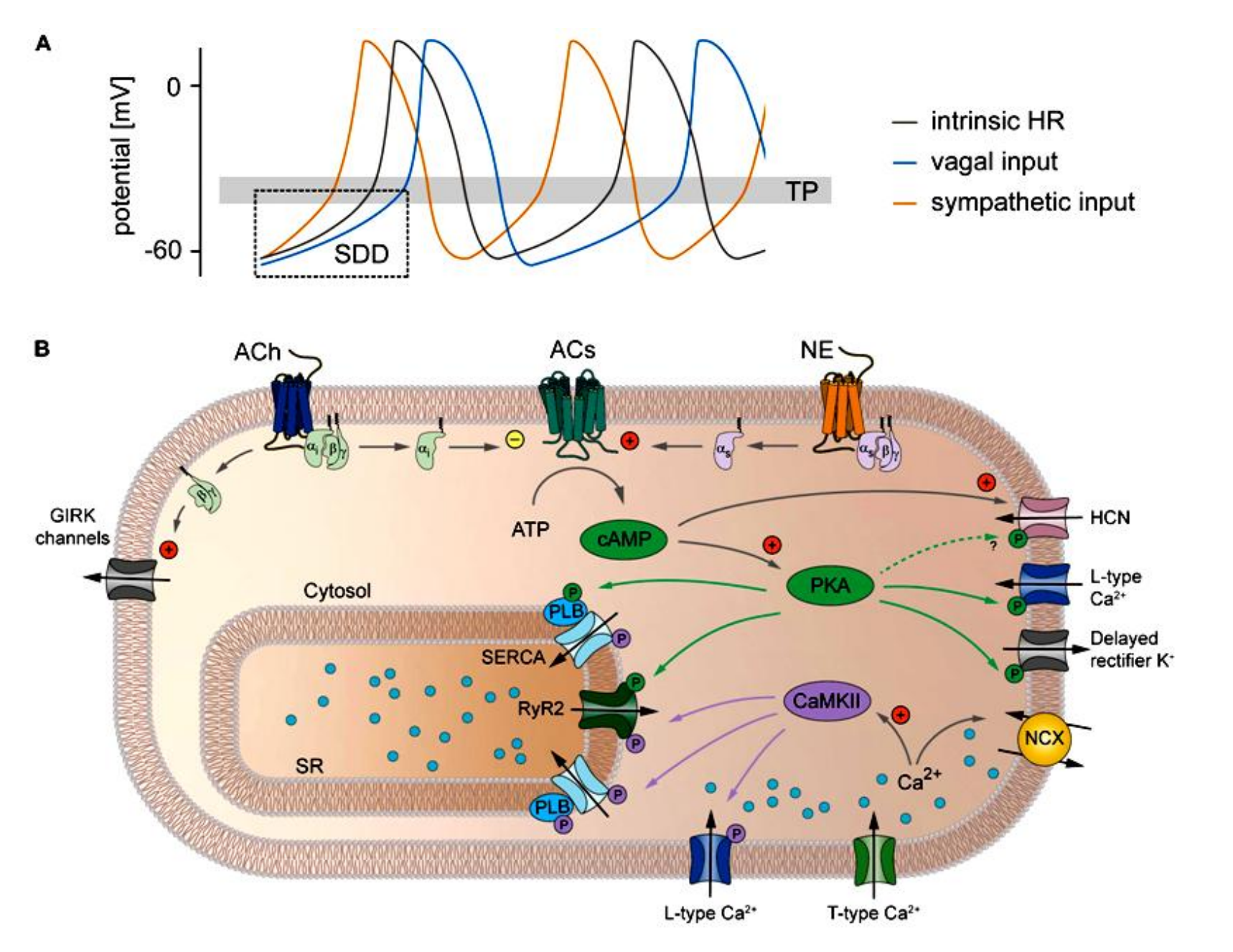
Atropine Adrenaline Theophylline









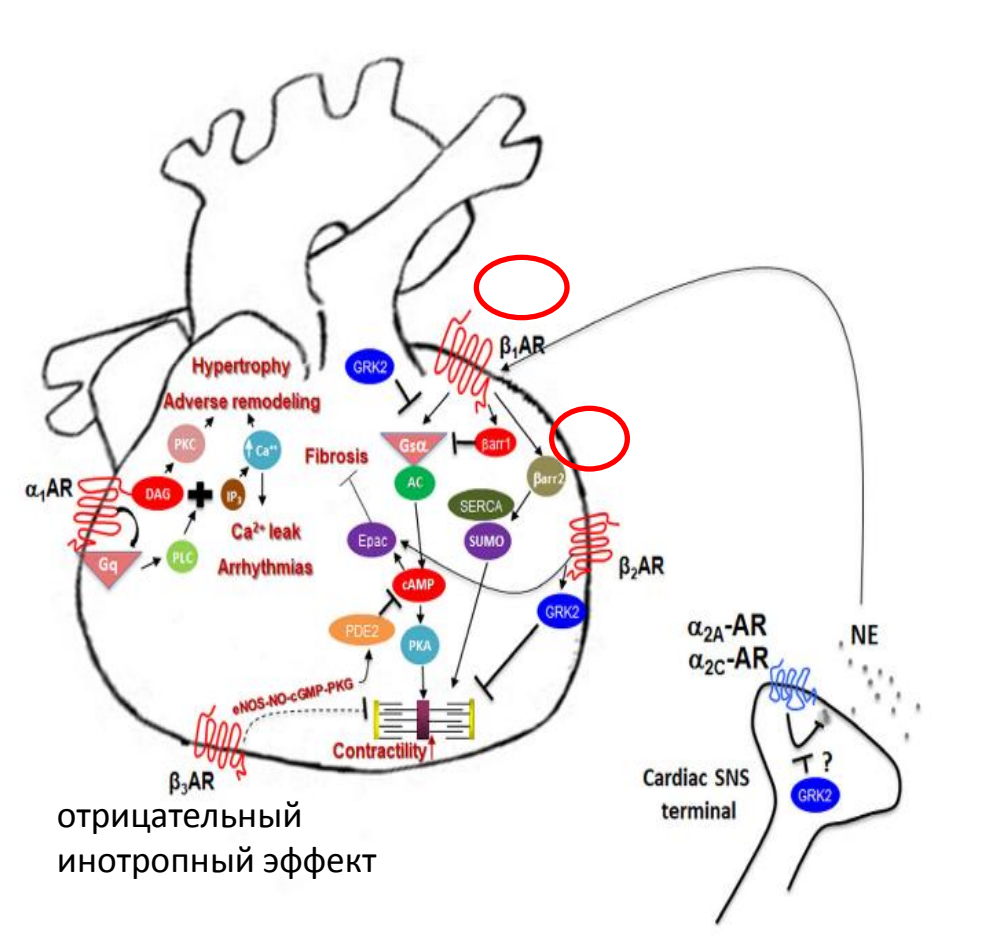


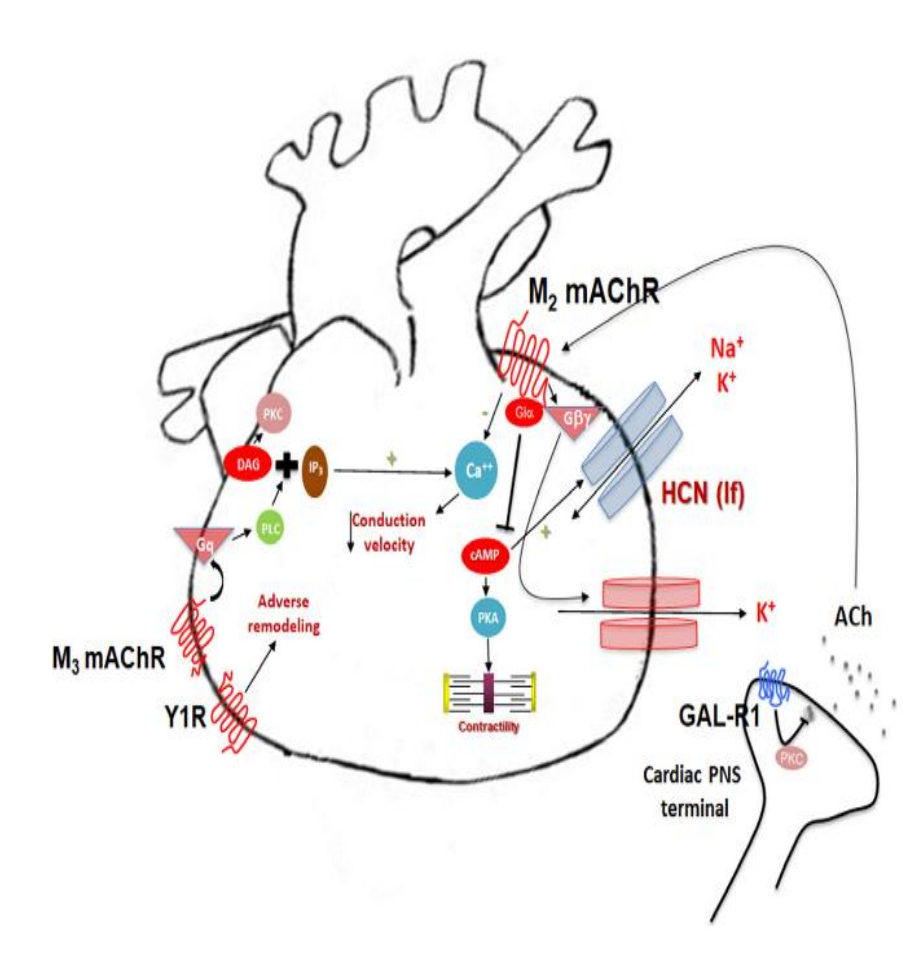
Konstantin Hennis et al., Speeding Up the Heart? Traditional and New Perspectives on HCN4 Function // Front. Physiol., Sec. Cardiac Electrophysiology Volume 12 - 2021 | https://doi.org/10.3389/fphys.2021.669029

Lymperopoulos et al.,
Signaling and function of cardiac autonomic nervoussystem
receptors: Insights from the GPCR signalling universe // A The FEBS
Journal 288, 2021

NE, Epi
$$\beta 1-75-80\%$$
 of the total AR density

Epi $\beta 2-15-18\%$

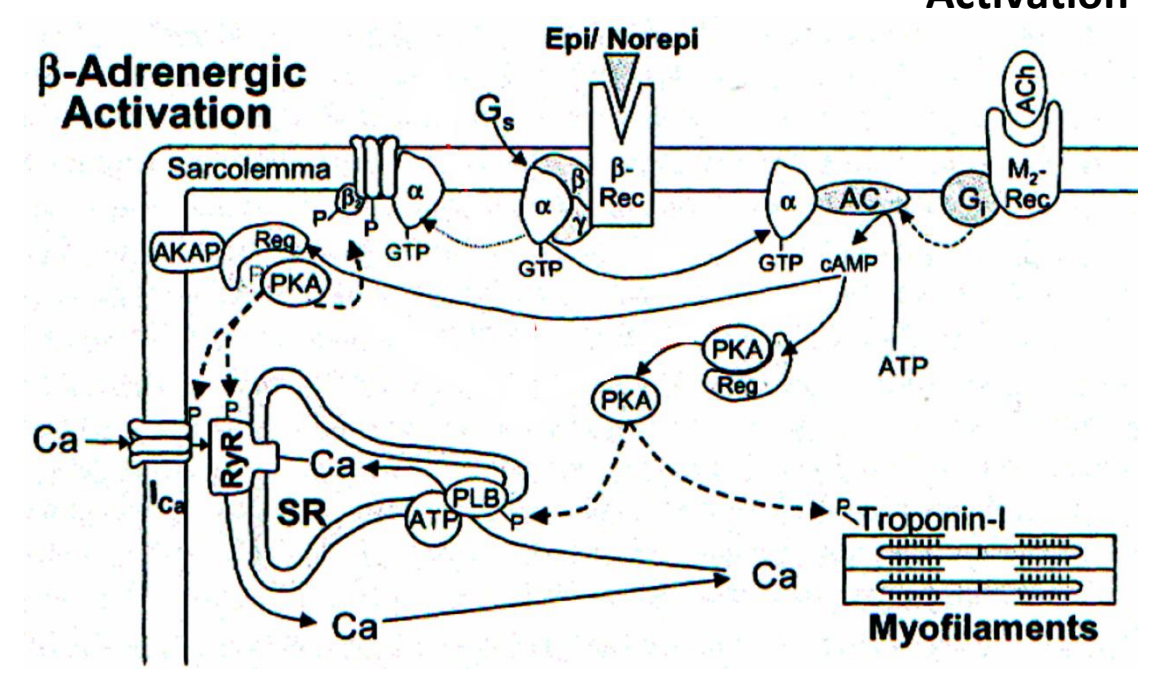


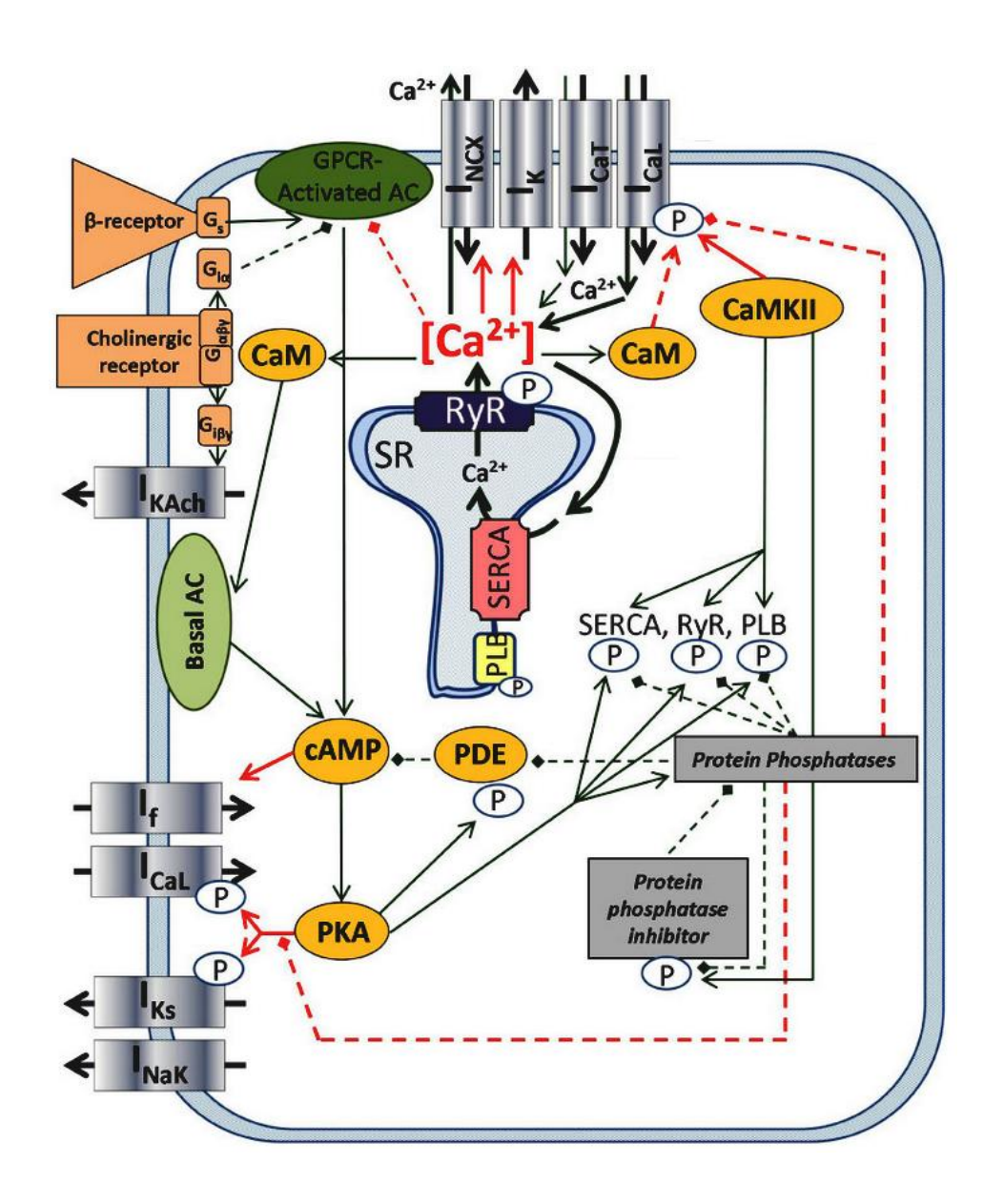


α-Adrenergic Regulation Ca ↓I_K & ↑APD→↑Cell Ca α_1AR (NHX) (NaCaX) PIP₂ α) G_{q/11} Na DAG PLB → Ca CaM-Ca ER Ras/ Raf ↑pH & MF Ca sensitivity ERK/ MAPK ∱∆[Ca]_i CaMK√ Transcriptional Regulation & Hypertrophy Increased A[Ca], & MF sensitivity

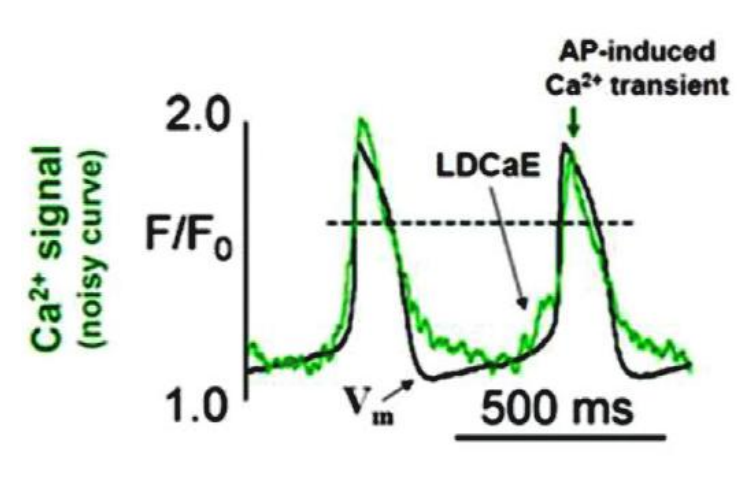
Nucleus

M2 -Ach Activation

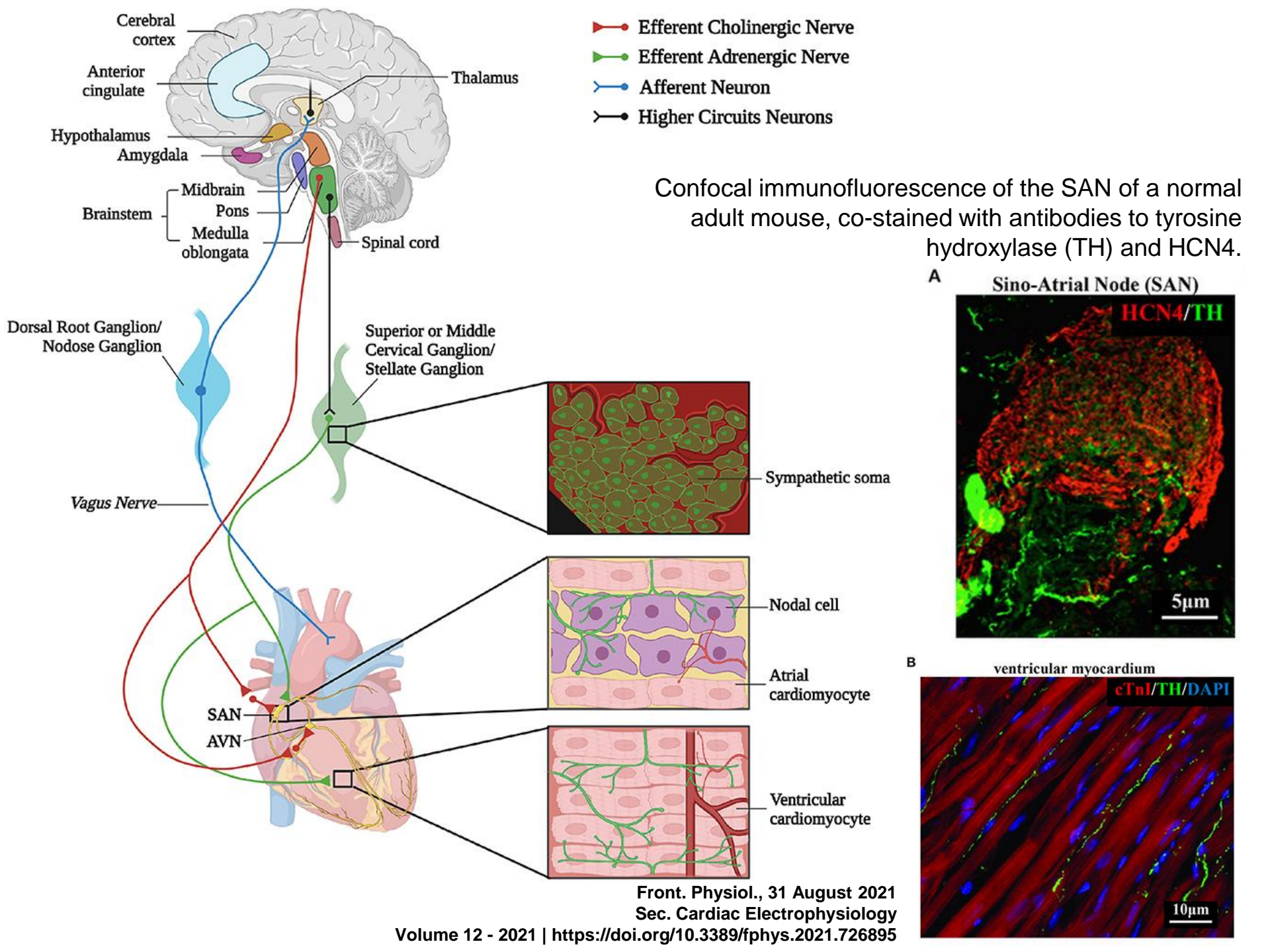


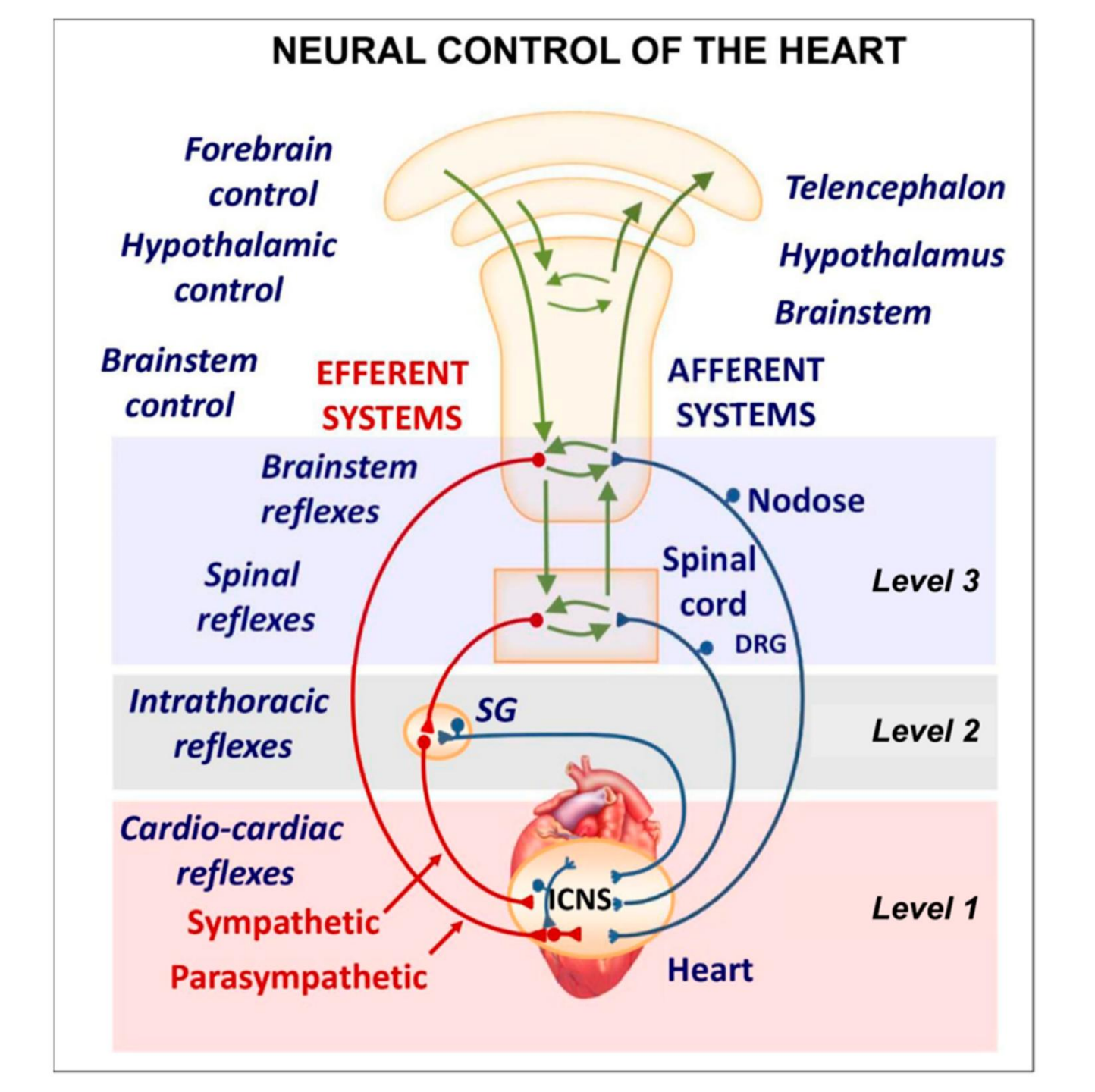


SA узел

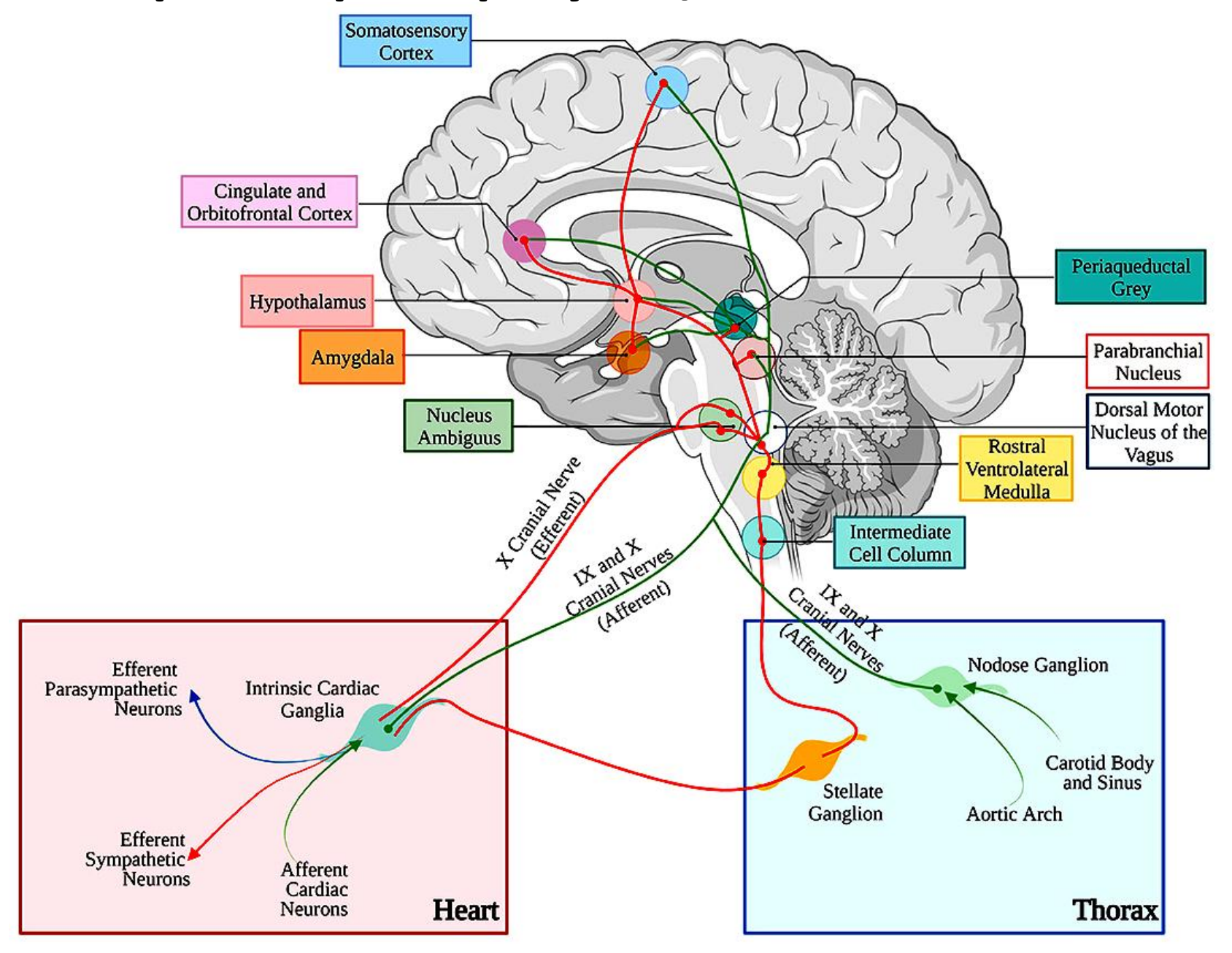


Late Diastolic Ca²⁺ Elevation (LDCaE)





Рефлекторная регуляция (экстракардиальная)



Рефлекторная регуляция (экстракардиальная)

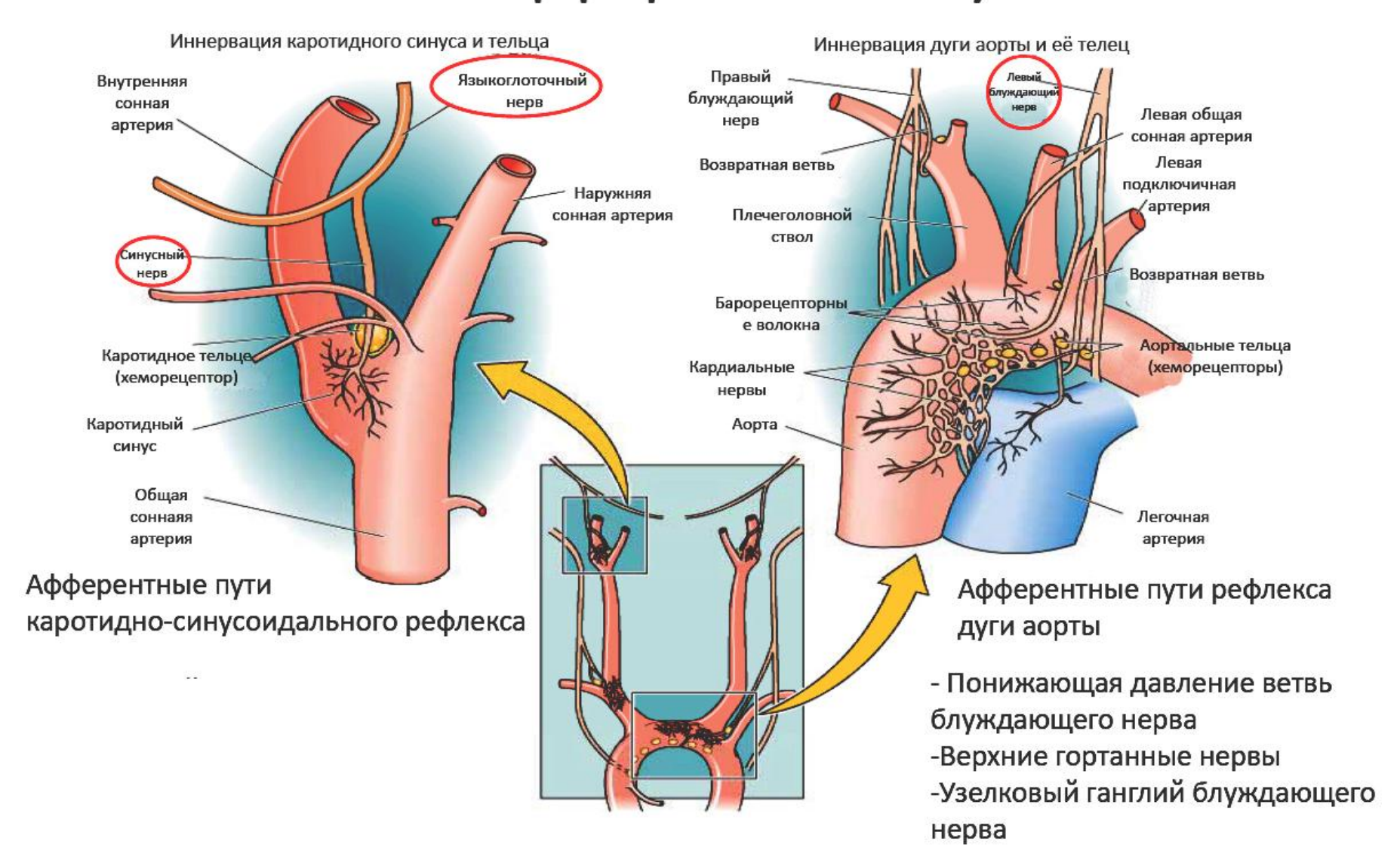
• Рефлексы сердечно-сосудистой системы

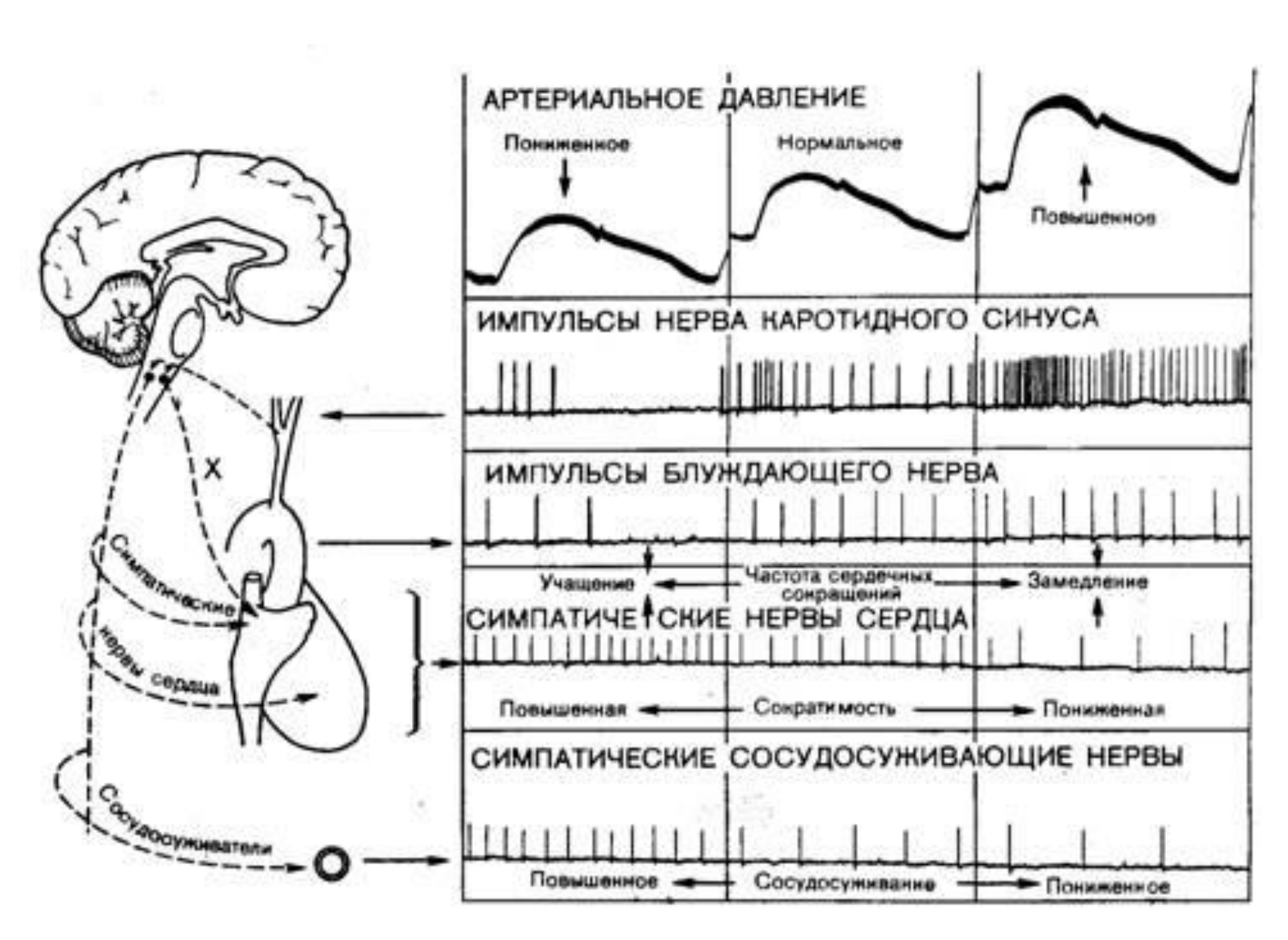
- барорецепторные рефлексы. *Барорецепторы* располагаются в дуге аорты, в каротидном синусе и приносящих сосудах и чувствительны к давлению крови.
- хеморецепторные рефлексы. Х*еморецепторы,* чувствительны к изменениям Ро₂ и *pH* крови.

• Внесосудистые рефлексы

- рефлекс Ашнера
- рефлекс Гольца

Рефлексы с участием барорецепторов Афферентные пути



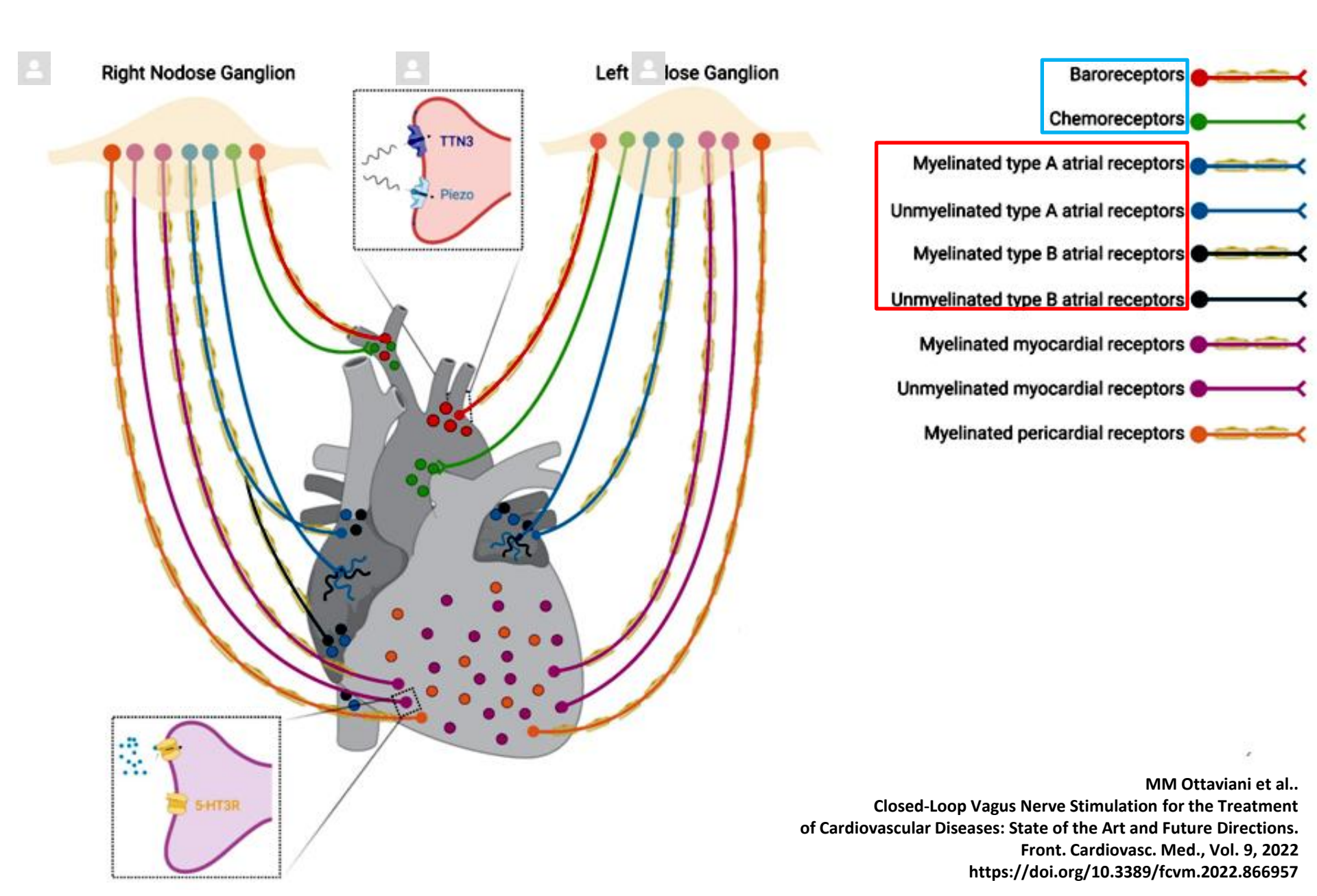


Кардио-васкулярные рефлексы (рецепторы растяжения и напряжения на кардиомиоцитах - А и В типа и ГМК сосудов)

Рефлекторная дуга начинается от механорецепторов предсердий — **А- рецепторов, реагирующих на активное напряжение**, и **В- рецепторов, реагирующих на пассивное растяжение предсердий.** От этих рецепторов начинаются афферентные пути, которые представлены миелинизированными волокнами, идущими в составе блуждающего нерва в сосудо-двигателный центр продолговатого мозга.

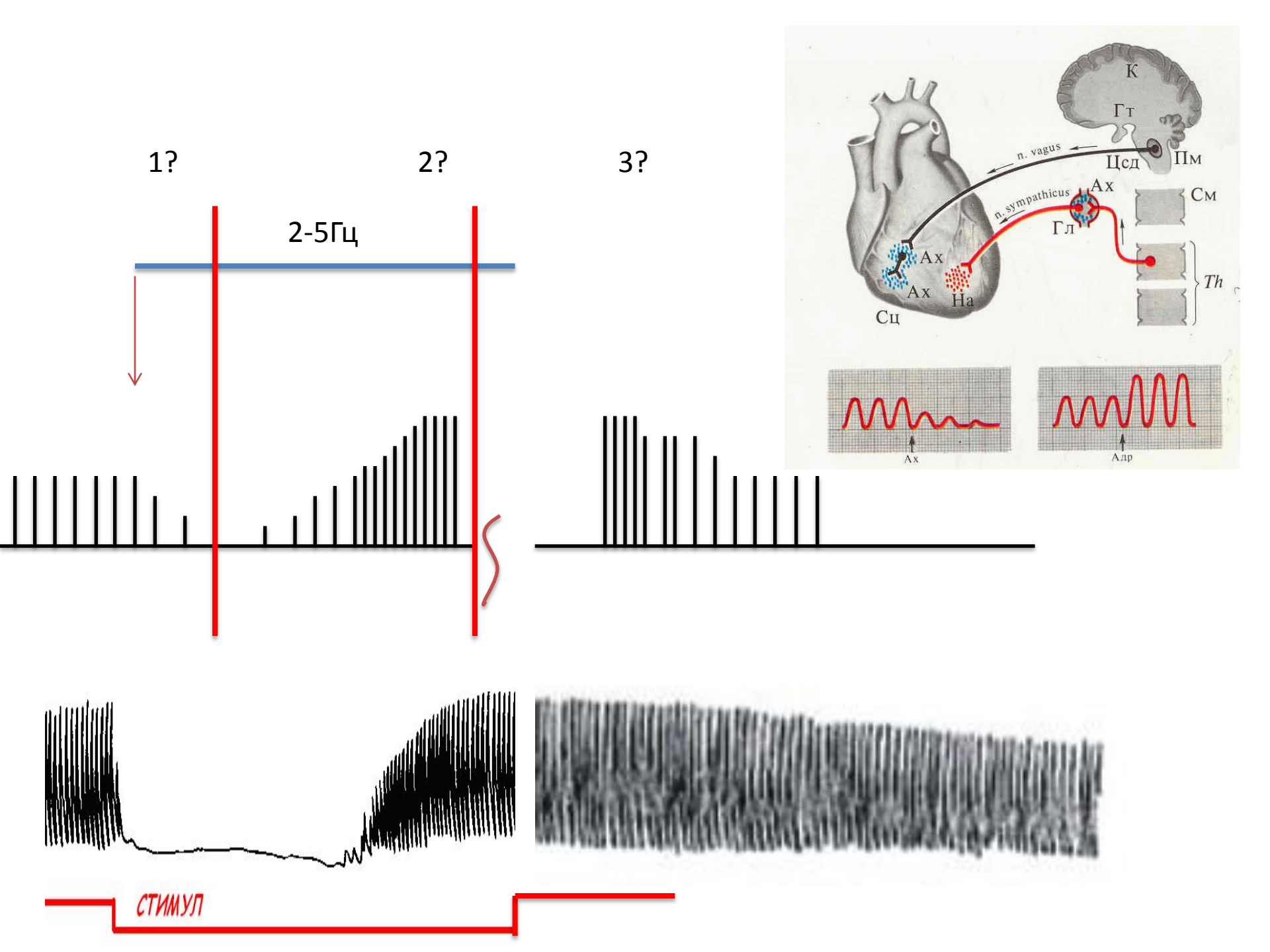


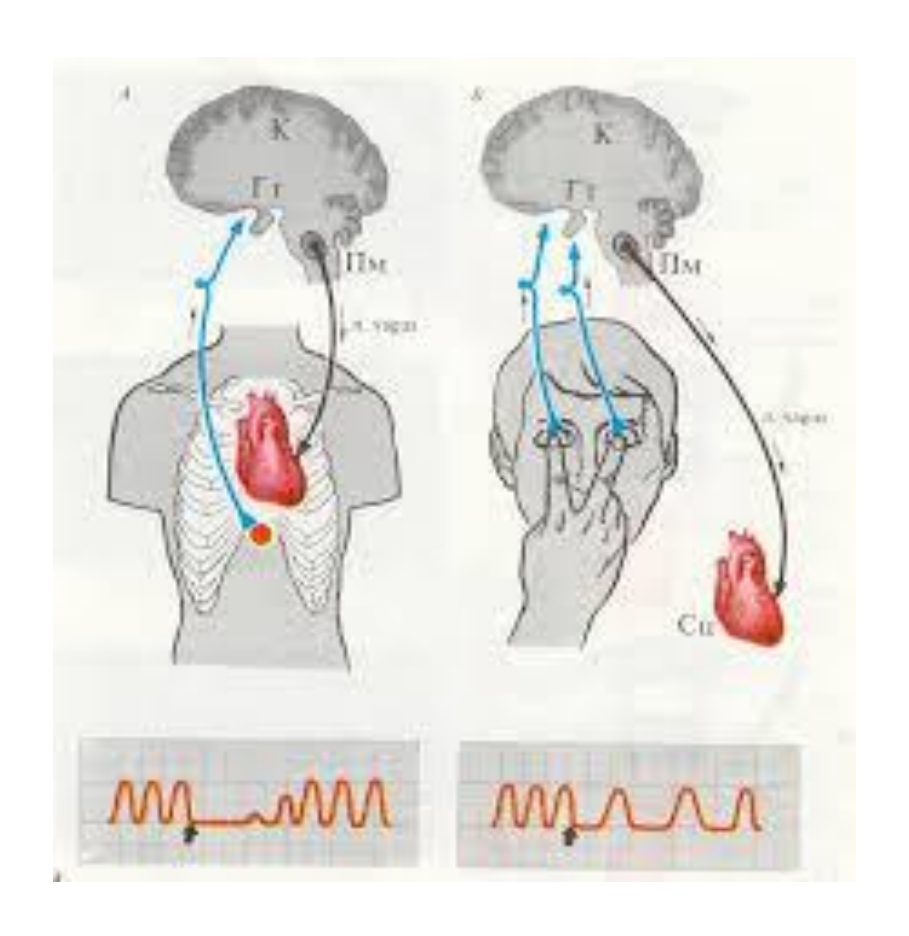
Схематическое изображение афферентов от сердца и сосудов, проходящих в составе блуждающего нерва.



Гуморальная регуляция

- Катехоламины: **адреналин**, норадреналин через β -адренорецептор положительные эффекты.
- Адренокортикостероиды (кортизол) усиление эффекта котехоламинов.
- Гормоны щитовидной железы положительные эффекты (хронотропный эффект).
- Инсулин положительные эффекты (инотропный эффект).
- Глюкогон положительные эффекты (инотропный и хронотропный эффект).
- Ангиотензин положительный инотропный эффект.
- Электролиты: K+, Ca++, Na+





Внесосудистые рефлексы рефлекс Ашнера рефлекс Гольца